

**ДОКЛАДЫ**  
**АКАДЕМИИ НАУК СССР**

**1980**

**ТОМ 255 № 1**

(ОТДЕЛЬНЫЙ ОТТИСК)

УДК 577.3

Б И О Ф И З И К А

А.А. БУЛЫЧЕВ, Н.П. ГРИШАНОВА, А.А. КОНОНЕНКО, Г.А. КУРЕЛЛА

**ПОГЛОЩЕНИЕ ЭКЗОГЕННОГО КОФАКТОРА В ХЛОРОПЛАСТАХ РАСТЕНИЙ  
И ХРОМАТОФОРАХ БАКТЕРИЙ  
ПРИ ЦИКЛИЧЕСКОМ ТРАНСПОРТЕ ЭЛЕКТРОНОВ**

(Представлено академиком А.Л. Курсановым 29 V 1980)

Окислительно-восстановительные реакции в мембранных системах могут быть сопряжены с трансмембранным переносом ионов<sup>(1)</sup>. Установлена связь между фотосинтетическим транспортом электронов и поглощением  $H^+$  в изолированных хлоропластах и хроматофорах пурпурных бактерий<sup>(2, 3)</sup>. В настоящей работе показано, что феназинметасульфат (ФМС) – кофактор циклического транспорта электронов и фосфорилирования, существующий в водном растворе в виде одновалентного катиона метилфеназина ( $M\Phi^+$ ), транспортируется на свету из среды во внутренний объем тилакоидов и хроматофоров. Накопление опосредовано механизмом хемиосмотического типа и связано предположительно с фотовосстановлением катионной формы ФМС ( $M\Phi^+$ ) на наружной поверхности фотосинтетической мембраны и окислением полностью восстановленной или семахинонной форм ФМС до катиона  $M\Phi^+$  на внутренней ее поверхности.

Объектом исследований служили хлоропласти гороха и хроматофоры фотосинтезирующих бактерий *Rhodospirillum rubrum*, выделенные по ранее описанным методикам<sup>(4, 5)</sup>. Использовали суспензии хлоропластов в среде, включающей 0,25 M сахарозу, 3 mM  $MgCl_2$ , 25 mM трис-HCl буфер, pH 7,7 (содержание хлорофилла 1–2 мг/мл) и препараты хроматофоров с содержанием бактериохлорофилла 1 мг/мл в 50 mM фосфатном буфере, pH 6,8. Концентрацию хлорофилла и бактериохлорофилла определяли соответственно по методу Арнона и по оптической плотности ацетонометаноловых экстрактов хроматофоров<sup>(6)</sup>. Перед измерениями препараты хлоропластов и хроматофоров разбавляли буферным 0,25 M раствором сахарозы или дистиллированной водой до концентрации, соответствующей 30–100 мкг хлорофилла на 1 мл среды, затем вводили ФМС до концентрации 5–10 мкM

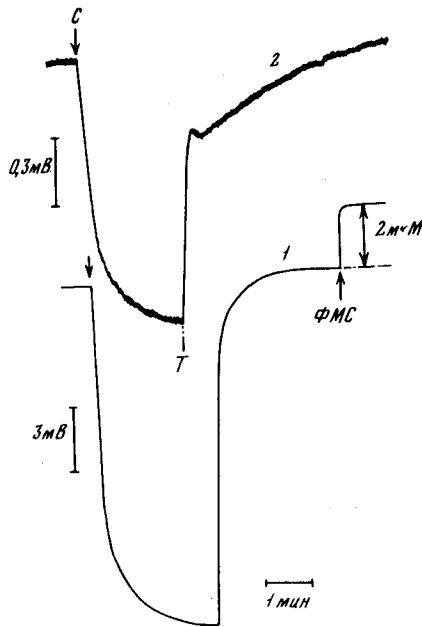


Рис. 1

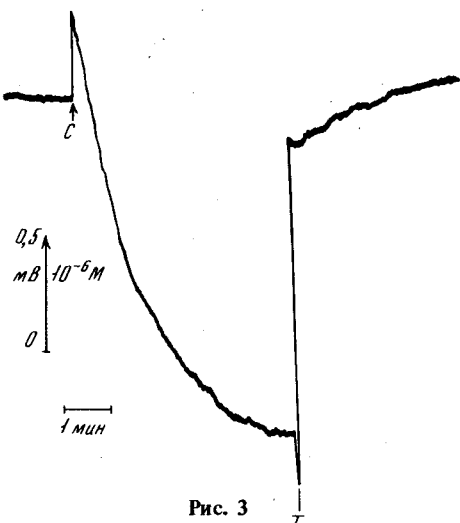


Рис. 3

Рис. 1. Фотоиндуцированные изменения концентрации метилфеназина ( $\text{M}\Phi^+$ ) в суспензии хлоропластов, измеренные ионоспецифичным электродом при  $\text{pH} 6,8$  (1) и  $\text{pH} 5,2$  (2); стрелками показаны моменты включения (C) и выключения (T) света, а также момент добавления в среду известного количества ФМС

Рис. 2. Предполагаемый механизм переноса ФМС через мембрану хлоропластов растений и хроматофоров бактерий;  $\text{M}\Phi^+$  – катионная форма ФМС (водорастворимая), МФН – полностью восстановленная форма ФМС (липофильная),  $\text{M}\Phi^\bullet$  – семихинонная форма ФМС (липофильная); Р – пигмент реакционного центра, X – акцептор; индексами  $m$ ,  $o$ ,  $i$  обозначены мембрана, наружная среда и внутренний объем везикул соответственно

Рис. 3. Фотоиндуцированные изменения концентрации  $\text{M}\Phi^+$  в суспензии хроматофоров пурпурных бактерий *Rhodospirillum rubrum*; смещение электродного потенциала вниз соответствует уменьшению концентрации  $\text{M}\Phi^+$  в среде

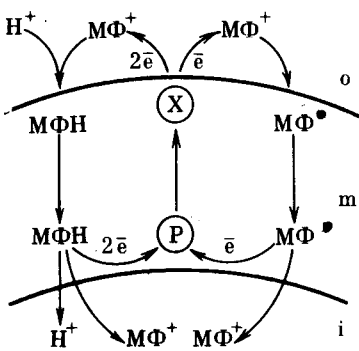


Рис. 2

и 20–50  $\mu\text{M}$  для суспензий хлоропластов и хроматофоров соответственно. Концентрацию  $\text{M}\Phi^+$  в суспензии измеряли  $\text{M}\Phi^+$ -специфичным электродом мембранныго типа, позволяющим регистрировать динамику содержания  $\text{M}\Phi^+$  в водных растворах в области концентраций выше  $10^{-7} \text{ M}$  с временным разрешением 1–3 с<sup>(4)</sup>. Объект освещали красным светом, не поглощаемым ФМС ( $\lambda > 600 \text{ nm}$ , освещенность 20 000 лк).

Предварительно были выявлены особенности темнового взаимодействия ФМС с хлоропластами и хроматофарами. Добавка хлоропластов к среде, содержащей 5–10  $\mu\text{M}$  ФМС, вызывает медленное и небольшое по величине уменьшение концентрации  $\text{M}\Phi^+$ , вероятно, вследствие пассивного перераспределения  $\text{M}\Phi^+$  между средой и тилакоидами. При добавлении эквивалентного количества хроматофоров к среде с 20  $\mu\text{M}$  ФМС наблюдается резкое (в течение секунд) снижение наружной концентрации  $\text{M}\Phi^+$  до 10  $\mu\text{M}$ , отражающее, по-видимому, восстановление значительной части  $\text{M}\Phi^+$  до незаряженной липофильной формы 5-метил-10-гидрофеназина

(МФН) и накопление ее в мембране. Учитывая отсутствие восстановителей в среде выделения и тщательную промывку хроматофоров при их получении, представляется вероятным, что частичное восстановление ФМС в темновых условиях обусловлено электронно-донорными компонентами хроматофоров, а не примесными компонентами среды.

Освещение хлоропластов сопровождается снижением концентрации  $\text{M}\Phi^+$  в среде без заметного латентного периода в течение 10–20 с, а выключение света – возрастанием концентрации до исходного уровня (рис. 1). При использовании в качестве среды суспензирования 0,25 M раствора сахарозы фотоиндуцированные изменения потенциала  $\text{M}\Phi^+$ -электрода составляют 10–20 мВ, что, примерно, соответствует 2-кратному уменьшению концентрации  $\text{M}\Phi^+$  в среде или же поглощению 100–200 нмоль  $\text{M}\Phi^+$  в расчете на 1 мг хлорофилла. При помещении хлоропластов в разбавленные растворы (20 mM сахарозы, 4 mM трис-HCl буфер, pH 7,7) фотоиндуцированные изменения потенциала  $\text{M}\Phi^+$ -электрода достигают 50–60 мВ, что соответствует примерно 10-кратному уменьшению наружной концентрации  $\text{M}\Phi^+$ . Сильная зависимость наблюдаемого эффекта от осмотического давления среды указывает, что уменьшение наружной концентрации  $\text{M}\Phi^+$  при действии света отражает поступление катионов  $\text{M}\Phi^+$  во внутренний объем тилакоида, а не обусловлено фотовосстановлением  $\text{M}\Phi^+$  до нейтральной формы МФН. О накоплении  $\text{M}\Phi^+$  в тилакоидах свидетельствует также фотовыцветание ФМС (максимум поглощения при 388 нм), не связанное с накоплением семихинонной или полностью восстановленной форм ФМС (7).

Учитывая данные об объеме внутритилакоидного пространства (3,3 мкл на 1 мг хлорофилла (8)), можно найти, что стационарная концентрация  $\text{M}\Phi^+$  внутри тилакоидов на свету достигает 10–20 mM, а отношение внутренней и наружной концентраций  $\text{M}\Phi^+$  составляет примерно  $10^4$ . Поскольку накопление  $\text{M}\Phi^+$  происходит против градиента концентрации, то осмотическое набухание тилакоидов в разбавленных растворах облегчает поступление  $\text{M}\Phi^+$  внутрь и стимулирует поглощение  $\text{M}\Phi^+$ . Начальная скорость поглощения  $\text{M}\Phi^+$  из среды (4 мкмоль/мин на 1 мг хлорофилла) согласуется с предположением о связи трансмембранных переноса  $\text{M}\Phi^+$  с циклическим транспортом электронов, если считать, что характерное время наиболее медленной стадии в катализируемом ФМС циклическом транспорте электронов составляет 10 мс.

Механизм аккумуляции  $\text{M}\Phi^+$  в хлоропластах может быть представлен в виде упрощенной схемы (рис. 2), основанной на данных о функционировании пары  $\text{M}\Phi^+/\text{M}\Phi^-$  в качестве переносчика электронов и протонов (2). Согласно схеме на свету на наружной поверхности тилакоидной мембрани происходит восстановление  $\text{M}\Phi^+$  акцептором первой фотосистемы до полностью восстановленной (МФН) или же семихинонной ( $\text{M}\Phi^-$ ) форм, отличающихся высокой липофильностью. Расторвясь в мемbrane, МФН и  $\text{M}\Phi^-$  диффундируют к ее внутренней стороне и донируют электроны в реакционный центр или же ближайшим переносчикам; при этом катион  $\text{M}\Phi^+$  высвобождается внутрь тилакоида.

На хлоропластах, обработанных диуроном, при изменении pH среды не обнаружено корреляции между фотоиндуцированным поглощением  $\text{H}^+$  и  $\text{M}\Phi^+$ . Повышение pH среды в пределах 6,6–8,0 сопровождается подавлением фотоиндуцированного поглощения  $\text{H}^+$  и стимуляцией фотоиндуцированного поглощения  $\text{M}\Phi^+$ . Не исключено, что в зависимости от pH меняется вклад форм МФН и  $\text{M}\Phi^-$  в трансмембранный перенос кофактора и соответственно стехиометрия переноса  $\text{M}\Phi^+$  и  $\text{H}^+$  через мембрану. Предполагаемое стехиометрическое отношение  $\text{M}\Phi^+/e$  лежит в пределах 0,5–1 (см. рис. 2).

Кинетические кривые фотоиндуцированных изменений концентрации  $\text{M}\Phi^+$  в суспензиях хроматофоров *R. rubrum* (рис. 3) отличаются тем, что помимо от-

носительно медленной стадии, соответствующей снижению концентрации  $M\Phi^+$  в среде, имеется быстрая стадия повышения концентрации  $M\Phi^+$  в начальные моменты освещения. Стадия снижения концентрации  $M\Phi^+$  заметно стимулируется при разбавлении среды, подобно тому, что наблюдается в опытах с хлоропластами, а амплитуда быстрой стадии слабо зависит от осмотического давления. Быстрая стадия (увеличение концентрации  $M\Phi^+$ ) значительно усиливается в присутствии аскорбата, который переводит значительную часть  $M\Phi^+$  в восстановленную форму и повышает общее содержание  $M\Phi$  в мембранах хроматофоров. Эти данные позволяют считать, что быстрое увеличение концентрации  $M\Phi^+$  в суспензии при освещении отражает окисление восстановленного ФМС при его взаимодействии с реакционными центрами<sup>(3)</sup> и выход образующихся при этом катионов  $M\Phi^+$  в среду под действием возникающего на свету трансмембранныго электрического потенциала.

Медленная стадия уменьшения концентрации  $M\Phi^+$ , по-видимому, аналогична фотоиндуцированным изменениям концентрации  $M\Phi^+$  в суспензии хлоропластов и отражает транспорт  $M\Phi^+$  внутрь хроматофоров по сходному механизму (см. рис. 2). Поскольку снижение концентрации  $M\Phi^+$  в среде обусловлено предположительно транспортом  $M\Phi^+$  против градиента концентрации и электрического потенциала, очевидно, что факторы, влияющие на величину мембранныго потенциала хроматофоров должны существенно модифицировать кинетику поглощения  $M\Phi^+$ . В соответствии с этим было установлено, что введение в среду валиномицина (0,2 мкМ), снижающего в присутствии  $K^+$  мембранный потенциал в хроматофорах<sup>(3)</sup>, оказывает значительное стимулирующее действие на фотоиндуцированное поглощение  $M\Phi^+$ . Введение в среду  $NH_4Cl$  (5 мМ), который, как известно, снижает градиент pH на мемbrane хроматофоров, но повышает величину мембранныго потенциала<sup>(3)</sup>, приводит, напротив, к торможению фотоиндуцированного поглощения  $M\Phi^+$ . На хлоропластах, у которых по сравнению с хроматофорами стационарный уровень мембранныго потенциала на свету невелик<sup>(2)</sup>, добавление в среду валиномицина или же  $NH_4Cl$  не оказывает существенного влияния на фотоиндуцированное поглощение  $M\Phi^+$ .

Результаты указывают, что наблюдаемые различия в форме и амплитуде кинетических кривых фотоиндуцированных изменений концентрации  $M\Phi^+$  в хлоропластах и хроматофорах обусловлены, по крайней мере частично, значительным превышением мембранныго потенциала хроматофоров 100–200 мВ<sup>(3)</sup> над уровнем мембранныго потенциала хлоропластов (10–20 мВ в стационарном состоянии<sup>(9)</sup>).

Не исключено, что образование градиента концентрации экзогенного кофактора на фотосинтетической мемbrane не является спецификой функционирования ФМС. Вполне вероятно, что аналогичные концентрационные градиенты образуются при циклическом транспорте в присутствии других кофакторов. Образование градиента концентрации  $M\Phi^+$  на мемbrane хлоропластов и хроматофоров необходимо учитывать при интерпретации многих фотобиологических эффектов, наблюдавшихся в присутствии этого кофактора. Градиент концентрации  $M\Phi^+$  может служить движущей силой обратного переноса электронов после выключения света. Накопление высоких концентраций  $M\Phi^+$  внутри хроматофоров, возможно, служит причиной ФМС-зависимой фотоинактивации фосфорилирования<sup>(10, 11)</sup>. Необходимость затраты энергии на образование трансмембранныго градиента  $M\Phi^+$  может объяснять относительно низкий квантовый выход ФМС-зависимого фотофосфорилирования в хроматофорах бактерий<sup>(1)</sup>.

## ЛИТЕРАТУРА

- <sup>1</sup> P. Mitchell, Chemiosmotic Coupling in Oxidative and Photosynthetic Phosphorylation, Bodmin, 1966. <sup>2</sup> G. Hauska, A. Trebst, In: Current Topics in Bioenergetics, v. 6, N.Y., 1977, p. 151.  
<sup>3</sup> Z. Gromet-Elhanan, In: Photosynthesis I. Photosynthetic Electron Transport and Photophosphorylation, Berlin, 1977, p. 637. <sup>4</sup> A.A. Булычев, Г.А. Курелла и др., Физиол. раст., т. 26, № 1, 20 (1979). <sup>5</sup> В.Д. Самуилов, Е.Н. Кондратьева, Биол. науки, № 5, 97 (1969). <sup>6</sup> R.K. Clayton, In: Bacterial Photosynthesis, 1963, p. 498. <sup>7</sup> P.H. Homann, Biochim. et biophys. acta, v. 460, № 1, 1 (1977). <sup>8</sup> H.W. Heldt, K. Werdan et al., ibid., v. 314, № 2, 224 (1973). <sup>9</sup> A.A. Bulychev, V.K. Andrianov et al., ibid., v. 430, № 2, 336 (1976). <sup>10</sup> L. Slooten, C. Sybesma, ibid., v. 449, № 3, 565 (1976).  
<sup>11</sup> N.L. Kerber, N.L. Pucheu, A.F. Garcia, FEBS Lett., v. 94, № 2, 265 (1978).